

宜宾市普通高中 2022 级第一次诊断性测试

地 理

(考试时间：75 分钟；全卷满分：100 分)

注意事项：

1. 答题前，考生务必将自己的姓名、考生号等填写在答题卡和试卷指定位置上。
2. 回答选择题时，选出每小题答案后，用 2B 铅笔把答题卡上对应题目的答案标号涂黑。如需改动，用橡皮擦干净后，再选涂其他答案标号。回答非选择题时，将答案写在答题卡上，写在本试卷上无效。
3. 考试结束后，请将答题卡交回。

一、选择题：本题共 15 道小题，每小题 3 分，共 45 分。在每小题给出的四个选项中，只有一项是符合题目要求的。

2024 年 8 月 25 日下午，冰岛东南部一座冰川冰洞发生坍塌。紧急救援人员于当地时间（当地采用格林尼治时间）15 时接到救援电话，并随即前往事发地展开救援工作。表 1 为该区域多年气候资料统计表。据此完成 1~3 题。

表 1

月份	1	2	3	4	5	6	7	8	9	10	11	12
平均气温 (°C)	-1.5	-0.8	0.5	2.9	6.3	9.1	10.6	10.3	7.4	4.4	-1.1	-1.2
降水量 (mm)	45.6	51.8	57.8	58.3	63.8	75	71.8	61.8	66.5	55.6	42.5	38.7
平均日照 (h)	0.8	1.9	3.6	4.7	6.9	8.4	8.5	6.5	4.2	2.7	1.3	0.3

1. 据表推测该区域冰雪量最大的月份是
A. 3 月 B. 6 月 C. 10 月 D. 12 月
2. 冰洞坍塌发生在 8 月的直接原因是
A. 降水量丰富 B. 太阳辐射强
C. 日照时间短 D. 平均气温高
3. 紧急救援人员接到救援电话时，北京时间是
A. 25 日 0 时 B. 25 日 23 时
C. 26 日 0 时 D. 26 日 23 时

一个河流系统可由多条汇聚和分散的河道网组成，这些河流在岛屿或砾石滩之间相互交叉，称为辫状河。位于美国阿拉斯加的德纳里国家公园有多条河流在冰川末端发育了典型的辫状河。

图 1 为德纳里国家公园的辫状河景观图。据此完成 4~6 题。



图 1

4. 图示河流最主要的补给水源是

- A. 大气降水 B. 冰雪融水 C. 地下水 D. 湖泊水

5. 该地区河流发育成辫状的有利条件是

- A. 河床落差大 B. 河道宽度小 C. 水位季节变化小 D. 河水含沙量大

6. 形成该地区辫状河的沉积物

- A. 分选性好 B. 颗粒较细 C. 磨圆度差 D. 有机质多

伊犁河发源于天山汗腾格里峰北侧，经中国新疆进入哈萨克斯坦境内，流经峡谷、沙漠地区，注入中亚的巴尔喀什湖。研究发现，2010 年以前流域水量主要受气候影响，自 2010 年以后主要受人类活动影响。卡普恰盖水库位于伊犁河下游哈萨克斯坦境内，将其水库入库站与水库下游的伊犁村水站径流量年分配情况作为重点统计内容，统计每个季节径流量占全年径流量的比例（表 2）。据此完成 7~9 题。

表 2

站名	年份	每个季节水量占全年水量比例			
		3~5 月	6~8 月	9~11 月	12~2 月
水库入库站	2005~2009	20.9	40.8	20.3	18.0
伊犁村水站	2010~2014	24.6	42.1	20.3	13.0
伊犁村水站	2015~2020	31.3	33.5	19.2	16.0

7. 伊犁河流域水资源最丰富的季节是

- A. 春季 B. 夏季 C. 秋季 D. 冬季

8. 与 2010~2014 年相比，2015~2020 年伊犁村水站径流季节变化的主要原因是

- A. 水利工程的调蓄 B. 西风影响程度加强
C. 植被覆盖率提高 D. 春季灌溉用水增大

9. 2010年后随着伊犁河年径流量的变化, 巴尔喀什湖

- A. 生物多样性增多
- B. 湖区水位上升
- C. 湖水的盐度增大
- D. 入湖泥沙增多

正常年份, 赤道太平洋盛行东南信风, 东太平洋水温较低, 西太平洋水温较高, 西太平洋表面水温高于 28°C 的区域称为西太平洋暖池区域。西太平洋暖池区域是世界上最大的鲣鱼分布的海域, 研究发现气候变化在时空尺度上影响着鲣鱼的分布, 28°C 等温线东界会受厄尔尼诺与拉尼娜现象影响, 进而影响鲣鱼资源的分布。图 2 示意不同气候模式下鲣鱼主要活动场所。据此完成 10~12 题。

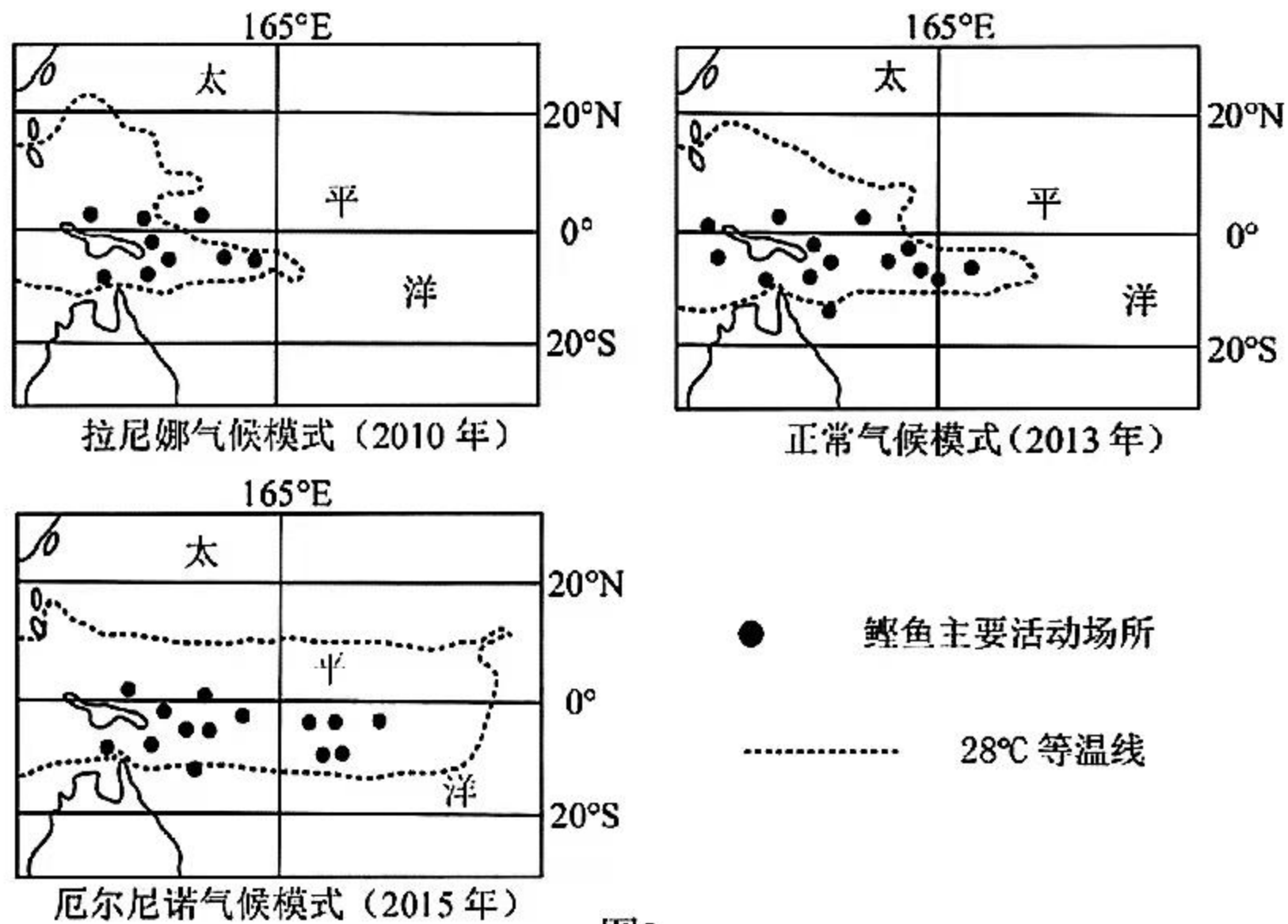


图2

10. 促使西太平洋暖池区域范围扩大的主导因素是

- A. 天气系统
- B. 洋流
- C. 海陆分布
- D. 太阳辐射

11. 有利于鲣鱼活动范围扩大的条件是

- A. 海水放热增加
- B. 赤道逆流减弱
- C. 东南信风减弱
- D. 秘鲁寒流增强

12. 西太平洋暖池区域范围扩大时

- A. 秘鲁沿岸降水量减少
- B. 澳大利亚东北侧降水增加
- C. 菲律宾东部降水增多
- D. 东南太平洋渔业资源减少

根河是黑龙江流域额尔古纳河的一级支流。1990~2004年间, 根河流域湿地呈现出显著的斑块化与破碎化的特征; 2004~2019年间, 根河流域湿地斑块化与破碎化程度减缓。研究发现, 气候变化和冻土是影响根河流域湿地变化的主要因素。图 3 示意 1990~2019 年根河流域年降水量与年平均气温变化趋势。据此完成 13~15 题。

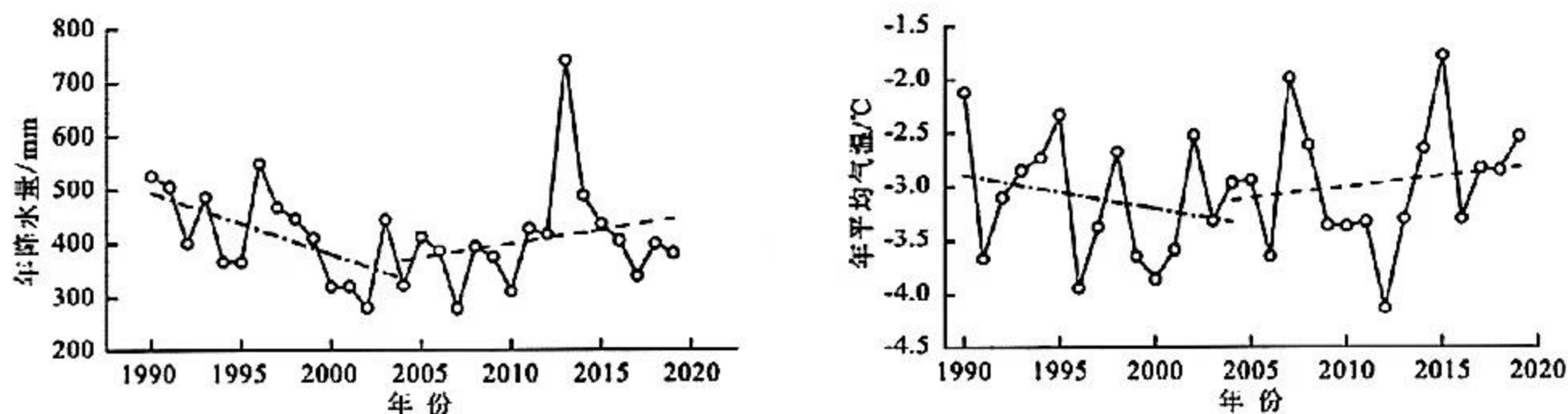


图3

13. 1990~2004年间,根河流域的气候变化趋势为
 A. 暖湿 B. 暖干 C. 冷湿 D. 冷干
14. 1990~2004年间,根河流域湿地呈现出斑块化与破碎化的原因是
 A. 雪期缩短 B. 蒸发增加 C. 降水减少 D. 径流增加
15. 2004~2019年根河流域湿地破碎程度与年平均气温呈负相关,其原因可能是
 A. 冻土融化 B. 降水增加 C. 蒸发减少 D. 下渗增加

二、非选择题: 本题共3道小题, 共55分。

16. 阅读图文材料, 回答下列问题。(16分)

沙漠豆原产于澳大利亚热带沙漠地区, 独特的血红色叶状花朵, 成为抗旱性和观赏性兼具的种质资源。采用人工控水法, 选取我国内蒙古高原中部库布齐沙漠分布的固沙植物黑沙蒿作为实验对照, 对澳大利亚沙漠豆进行耐旱实验对比研究, 记录不同实验阶段下黑沙蒿和沙漠豆叶片的相对含水量(图4)和质膜相对透性(图5)。

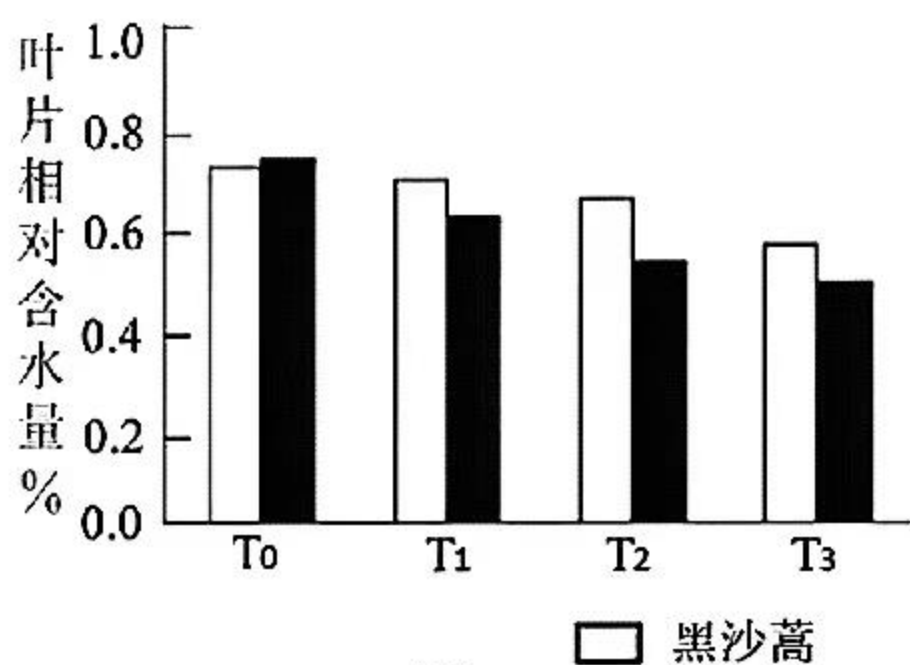


图4

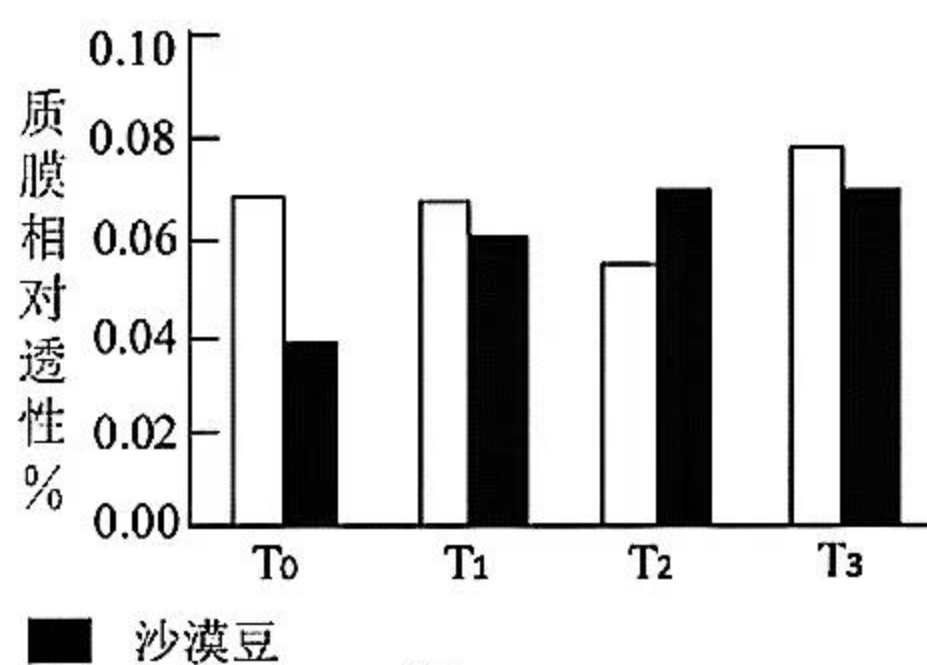


图5

备注: 相对含水量是衡量植物在干旱条件下能否正常生长的一个重要指标; 质膜相对透性是反映植物在逆境下受伤害程度的一个重要指标, T₀是非干旱情况下两种植物质膜相对透性的正常值, T₁~T₃为模拟自然条件下干旱程度逐渐加剧的两种物质膜相对透性; 与T₀阶段相比, 干旱加剧的情况下质膜相对透性增幅越大, 耐旱能力越差。

(1) 描述图4中黑沙蒿和沙漠豆叶片相对含水量的变化特征。(4分)

(2) 以 T₀ 阶段为参照, 说明图 5 中从 T₁~T₃ 阶段黑沙蒿和沙漠豆对于干旱耐受能力的差异。(6 分)

(3) 研究表明库布齐沙漠不适宜大规模引种沙漠豆。试分析其自然原因。(6 分)

17. 阅读图文材料, 完成下列要求。(18 分)

某地理爱好者, 在卫星地图上发现我国西南某地有“三山二谷”呈东北—西南走向。他带着好奇心自东南向西北, 重点考察了甲、乙、丙、丁、戊五个地点附近的岩层。考察沿线地壳相对稳定, 既有雄险的山景, 也有稻浪翻滚的平坝。图 6 示意考察区域等高线地形图, 图 7 示意沿考察路线的地质剖面图。

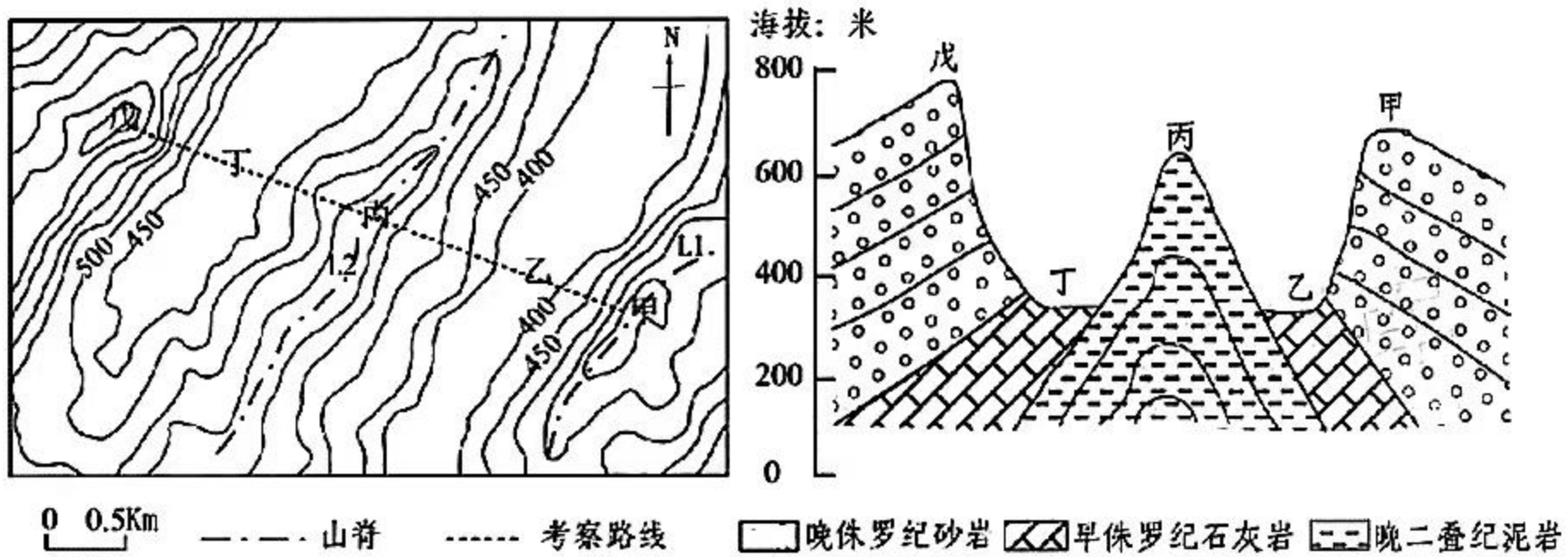


图 6

图 7

(1) 判断图示范围内的地质构造类型, 并简述理由。(4 分)

(2) 说明谷地中平坝的形成过程。(6 分)

(3) 分别推测 L1、L2 山脊的变化趋势, 并说明原因。(8 分)

18. 阅读图文材料, 完成下列要求。(21 分)

贺兰山的植被具有明显的垂直分异规律, 某研究团队选取了 A、B、C、D、E 五个地区进行研究, 得到了各研究区的生物量和土壤含水量等地理信息。表 3 为研究区的海拔、年降水量和年均温统计表, 图 8 示意各研究区草本和灌木的总平均生物量 (不含乔木), 图 9 示意各研究区土壤水分含量。

表 3

研究区	自然带	海拔 (m)	年降水量 (mm)	年均温 (°C)
A	荒漠草原	1350	191	8.32
B	浅山灌丛	1800	231	5.40
C	山地针叶林	2450	253	2.89
D	亚高山灌丛草甸	2600	262	2.32
E	高山草甸	2900	266	2.19

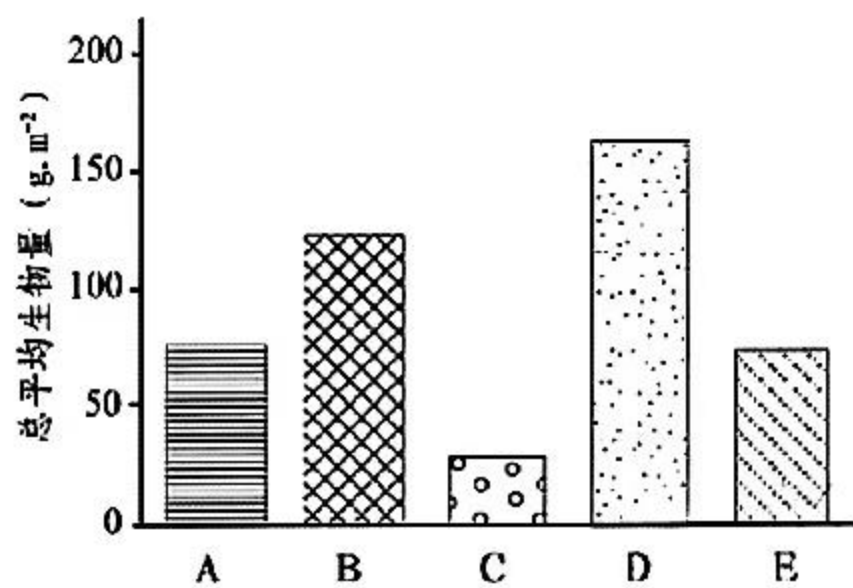


图 8

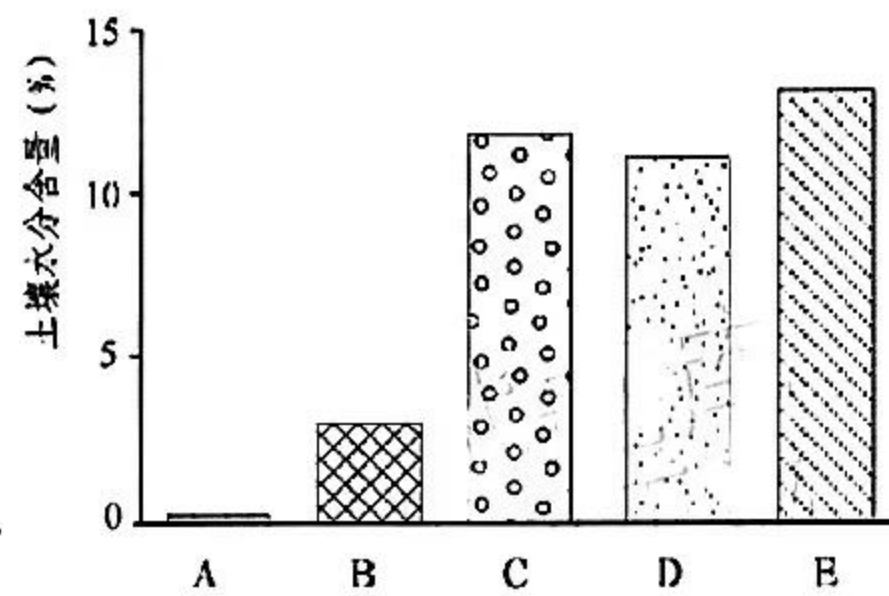


图 9

(1) 分别描述年降水量、年均温 and 土壤水分含量随海拔的变化规律。(3分)

(2) 从水循环的角度, 简析研究区 A 土壤含水量低的原因。(6分)

(3) 与研究区 D 相比, 据表 3 说明研究区 E 总平均生物量明显减少的原因。(6分)

(4) 随着全球气候变暖, 研究区 C 所属自然带上部的针叶林长势更加旺盛, 导致该部位总平均生物量减少。试说明其原因。(6分)